

Computer Vision for automate the process of Elections

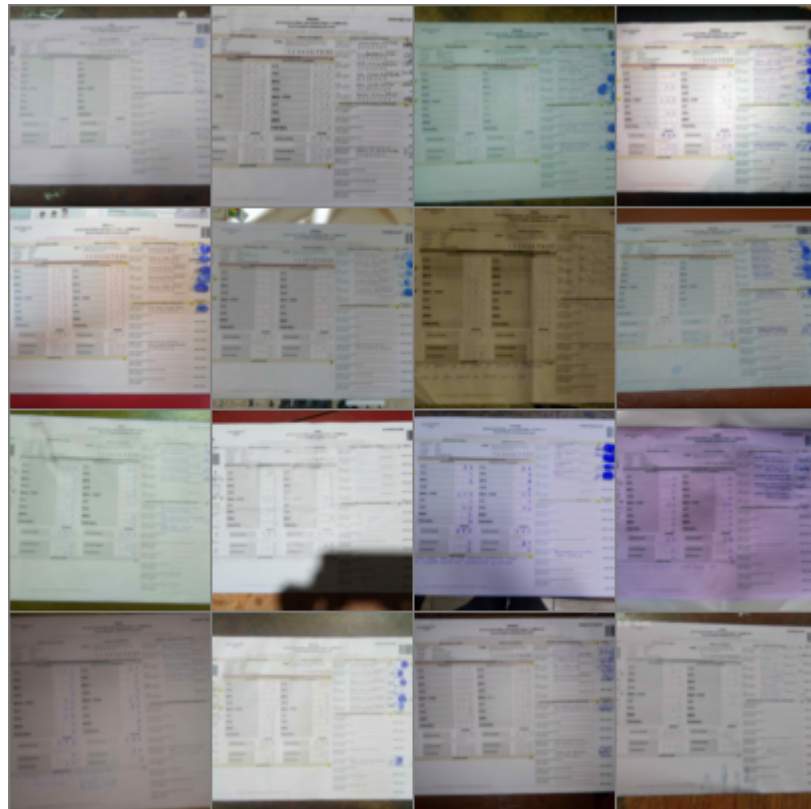
The intention of this work is to automate the counting of votes in the electoral records. Computer vision techniques are used to attempt to read the regions of interest and subsequently read the handwritten numbers within these regions of interest. The dataset that is accessed comes from the Bolivian elections 2019. Within this dataset whose size is 60 GB. We only worked on the images that were scanned since they are easier to process due to the computer vision algorithm that was developed. A work that is left as a potential research area is to use the labels generated by the computer vision algorithm, create a VOC like dataset and train an Object Detection model, the latter was completed but with poor results in a first iteration.

Download the dataset.

To download the dataset of the images, the jupyter notebook called [DOWNLOAD_DATASET/Download_images_azure.ipynb](#) is used. This notebook downloads the 60 GB of information, whose categories are the following.

uploadedimages

This images comes from a direct photo from a smartphone taked the moment where the operator in charge of the elections table must to send this report for fast counts called "TREP"



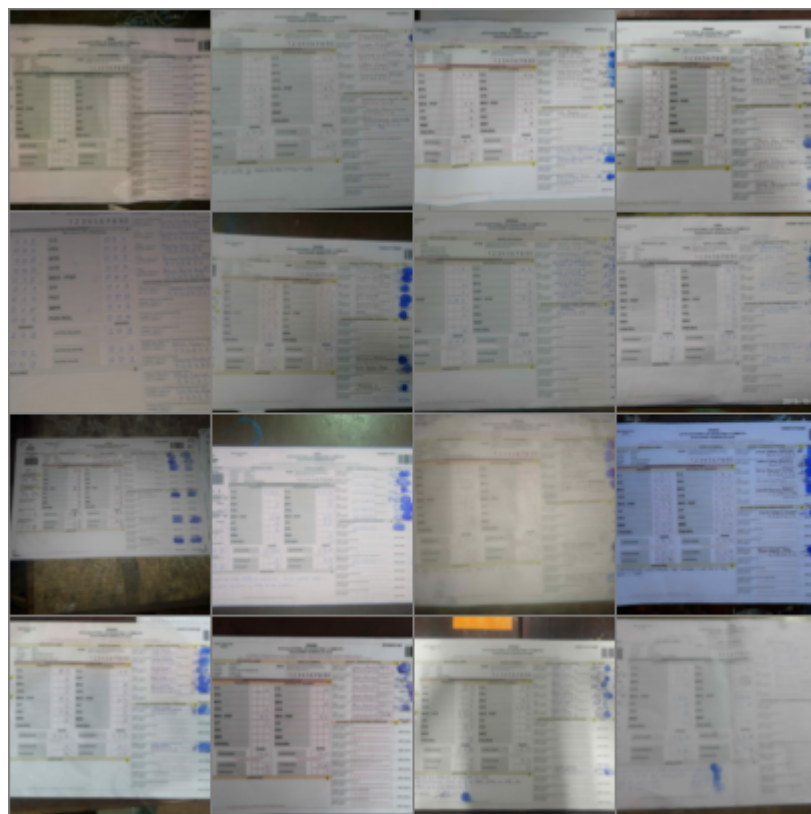
uploadedimagescomputo

This images are the same from [uploadedimages](#)(TREP) but are been scanned. We take this set of images (~30GB) for our Computer Vision work pipeline.



imgactastrep

This set of images are been flaged as **fraudulent** by the original team that work with this images the last year, this set of images comes from the [uploadedimages](#) set.



Create VOC like dataset.

Target Dataset

We take the [uploadedimagescompute](#) set of images since this are more easy to work with Computer Vision techniques. One example of this dataset set is this image.

CÓDIGO VERIFICACIÓN 366.058		ORIGINAL		R7E39108C4382	
ACTA ELECTORAL DE ESCRUTINIO Y CÓMPUTO ELECCIONES GENERALES 2019					
<p>La Presidenta o Presidente de mesa incluirá el original del Acta Electoral, la lista de personas habilitadas y las hojas de trabajo en el sobre "A". Copia 1: Auxiliar de Transmisión Rápida de Actas; Copia 2: Notaria/Notario; Copia 3: Presidenta/Presidente de Mesa; Copias 4 a 12: Delegada/Delegado (si hubiera).</p>					
CÓDIGO DE MESA 10205 		UBICACIÓN DE LA MESA 10205 Departamento: Chuquisaca Provincia: Oroyapeca Municipio: Sucre Localidad: Sucre Recinto: Esc. Aniceto Arce		MODELO DE NÚMEROS PARA LLENAR LAS CÁSILLAS DE RESULTADOS CON LOS VOTOS OBTENIDOS POR CADA OPCIÓN. SE DEBEN COLOCAR LOS MISMOS EN EL ORDEN DE LAS CÁSILLAS. EN CADA CÁSILLA UN NÚMERO USANDO LOS SIGUIENTES MODELOS:	
				1 2 3 4 5 6 7 8 9 0	
COMPUTO DE VOTOS OBTENIDOS POR LAS CANDIDATURAS					
PRESIDENTE/A C.C. FPV MTS UCS MAS - IPSP 21F PDC MNR PAN-BOL		DIPUTADO/A CIR. UNINOMINAL C.C. FPV MTS UCS MAS - IPSP 21F PDC MNR PAN-BOL		JURADAS / JURADOS ELECTORALES PRESIDENTA / PRESIDENTE: MARÍBEL SERRUDO CALDERÓN NOMBRE COMPLETO: _____ NUM. DOCUMENTO: 1 2 9 2 9 5 4 8 SECRETARIA / SECRETARIO: GEDARDO SERRANO PEÑATEL NOMBRE COMPLETO: _____ NUM. DOCUMENTO: 7 4 8 6 6 8 4 VOCAL: VICENTA SERRUDO ESTRADA NOMBRE COMPLETO: _____ NUM. DOCUMENTO: 3 6 5 8 5 0 3	
MESA: 21 CIR. UNINOMINAL 1 APERTURA DE MESA 1 La mesa se abrió a horas: Horas: 08 : 00 del 20 de octubre de 2019					
CIERRE DE MESA 6 La votación concluyó a horas: Horas: 16 : 00					
Número total de electoras/es habilitadas/os en mesa: 2 3 4					
Número total de papeletas en silla: 2 1 4					
Número total de electoras/es habilitadas/os que emitieron su voto (de la lista indicada):					
2 1 4					
OBSERVACIONES					
<p>En esta casilla se corrigen errores y se validan las correcciones agregando "corre y vale".</p>					
TIPO A1				 2 INICIO FIRMA Y HUELLA 7	
				CIERRE FIRMA Y HUELLA	
				2 INICIO FIRMA Y HUELLA 7	
				FIRMA Y HUELLA	
				2 INICIO FIRMA Y HUELLA 7	
				FIRMA Y HUELLA	
				2 INICIO FIRMA Y HUELLA 7	
				FIRMA Y HUELLA	
				2 INICIO FIRMA Y HUELLA 7	
				FIRMA Y HUELLA	
				2 INICIO FIRMA Y HUELLA 7	
				FIRMA Y HUELLA	
				2 INICIO FIRMA Y HUELLA 7	
				FIRMA Y HUELLA	
				2 INICIO FIRMA Y HUELLA 7	
				FIRMA Y HUELLA	
				2 INICIO FIRMA Y HUELLA 7	
				FIRMA Y HUELLA	
				2 INICIO FIRMA Y HUELLA 7	
				FIRMA Y HUELLA	
				2 INICIO FIRMA Y HUELLA 7	
				FIRMA Y HUELLA	
				2 INICIO FIRMA Y HUELLA 7	
				FIRMA Y HUELLA	
				2 INICIO FIRMA Y HUELLA 7	
				FIRMA Y HUELLA	
				2 INICIO FIRMA Y HUELLA 7	
				FIRMA Y HUELLA	
				2 INICIO FIRMA Y HUELLA 7	
				FIRMA Y HUELLA	
				2 INICIO FIRMA Y HUELLA 7	
				FIRMA Y HUELLA	
				2 INICIO FIRMA Y HUELLA 7	
				FIRMA Y HUELLA	
				2 INICIO FIRMA Y HUELLA 7	
				FIRMA Y HUELLA	
				2 INICIO FIRMA Y HUELLA 7	
				FIRMA Y HUELLA	
				2 INICIO FIRMA Y HUELLA 7	
				FIRMA Y HUELLA	
				2 INICIO FIRMA Y HUELLA 7	
				FIRMA Y HUELLA	
				2 INICIO FIRMA Y HUELLA 7	
				FIRMA Y HUELLA	
				2 INICIO FIRMA Y HUELLA 7	
				FIRMA Y HUELLA	
				2 INICIO FIRMA Y HUELLA 7	
				FIRMA Y HUELLA	
				2 INICIO FIRMA Y HUELLA 7	
				FIRMA Y HUELLA	
				2 INICIO FIRMA Y HUELLA 7	
				FIRMA Y HUELLA	
				2 INICIO FIRMA Y HUELLA 7	
				FIRMA Y HUELLA	
				2 INICIO FIRMA Y HUELLA 7	
				FIRMA Y HUELLA	
				2 INICIO FIRMA Y HUELLA 7	
				FIRMA Y HUELLA	
				2 INICIO FIRMA Y HUELLA 7	
				FIRMA Y HUELLA	
				2 INICIO FIRMA Y HUELLA 7	
				FIRMA Y HUELLA	
				2 INICIO FIRMA Y HUELLA 7	
				FIRMA Y HUELLA	
				2 INICIO FIRMA Y HUELLA 7	
				FIRMA Y HUELLA	
				2 INICIO FIRMA Y HUELLA 7	
				FIRMA Y HUELLA	
				2 INICIO FIRMA Y HUELLA 7	
				FIRMA Y HUELLA	
				2 INICIO FIRMA Y HUELLA 7	
				FIRMA Y HUELLA	
				2 INICIO FIRMA Y HUELLA 7	
				FIRMA Y HUELLA	
				2 INICIO FIRMA Y HUELLA 7	
				FIRMA Y HUELLA	
				2 INICIO FIRMA Y HUELLA 7	
				FIRMA Y HUELLA	
				2 INICIO FIRMA Y HUELLA 7	
				FIRMA Y HUELLA	
				2 INICIO FIRMA Y HUELLA 7	
				FIRMA Y HUELLA	
				2 INICIO FIRMA Y HUELLA 7	
				FIRMA Y HUELLA	
				2 INICIO FIRMA Y HUELLA 7	
				FIRMA Y HUELLA	
				2 INICIO FIRMA Y HUELLA 7	
				FIRMA Y HUELLA	
				2 INICIO FIRMA Y HUELLA 7	
				FIRMA Y HUELLA	
				2 INICIO FIRMA Y HUELLA 7	
				FIRMA Y HUELLA	
				2 INICIO FIRMA Y HUELLA 7	
				FIRMA Y HUELLA	
				2 INICIO FIRMA Y HUELLA 7	
				FIRMA Y HUELLA	
				2 INICIO FIRMA Y HUELLA 7	
				FIRMA Y HUELLA	
				2 INICIO FIRMA Y HUELLA 7	
				FIRMA Y HUELLA	
				2 INICIO FIRMA Y HUELLA 7	
				FIRMA Y HUELLA	
				2 INICIO FIRMA Y HUELLA 7	
				FIRMA Y HUELLA	
				2 INICIO FIRMA Y HUELLA 7	
				FIRMA Y HUELLA	
				2 INICIO FIRMA Y HUELLA 7	
				FIRMA Y HUELLA	
				2 INICIO FIRMA Y HUELLA 7	
				FIRMA Y HUELLA	
				2 INICIO FIRMA Y HUELLA 7	
				FIRMA Y HUELLA	
				2 INICIO FIRMA Y HUELLA 7	
				FIRMA Y HUELLA	
				2 INICIO FIRMA Y HUELLA 7	
				FIRMA Y HUELLA	
				2 INICIO FIRMA Y HUELLA 7	
				FIRMA Y HUELLA	
				2 INICIO FIRMA Y HUELLA 7	
				FIRMA Y HUELLA	
				2 INICIO FIRMA Y HUELLA 7	
				FIRMA Y HUELLA	
				2 INICIO FIRMA Y HUELLA 7	
				FIRMA Y HUELLA	
				2 INICIO FIRMA Y HUELLA 7	
				FIRMA Y HUELLA	
				2 INICIO FIRMA Y HUELLA 7	
				FIRMA Y HUELLA	
				2 INICIO FIRMA Y HUELLA 7	
				FIRMA Y HUELLA	
				2 INICIO FIRMA Y HUELLA 7	
				FIRMA Y HUELLA	
				2 INICIO FIRMA Y HUELLA 7	
				FIRMA Y HUELLA	
				2 INICIO FIRMA Y HUELLA 7	
				FIRMA Y HUELLA	
				2 INICIO FIRMA Y HUELLA 7	
				FIRMA Y HUELLA	
				2 INICIO FIRMA Y HUELLA 7	
				FIRMA Y HUELLA	
				2 INICIO FIRMA Y HUELLA 7	
				FIRMA Y HUELLA	
				2 INICIO FIRMA Y HUELLA 7	
				FIRMA Y HUELLA	
				2 INICIO FIRMA Y HUELLA 7	
				FIRMA Y HUELLA	
				2 INICIO FIRMA Y HUELLA 7	
				FIRMA Y HUELLA	
				2 INICIO FIRMA Y HUELLA 7	
				FIRMA Y HUELLA	
				2 INICIO FIRMA Y HUELLA 7	
				FIRMA Y HUELLA	
				2 INICIO FIRMA Y HUELLA 7	
				FIRMA Y HUELLA	
				2 INICIO FIRMA Y HUELLA 7	
				FIRMA Y HUELLA	
				2 INICIO FIRMA Y HUELLA 7	
				FIRMA Y HUELLA	
				2 INICIO FIRMA Y HUELLA 7	
				FIRMA Y HUELLA	
				2 INICIO FIRMA Y HUELLA 7	
				FIRMA Y HUELLA	
				2 INICIO FIRMA Y HUELLA 7	
				FIRMA Y HUELLA	
				2 INICIO FIRMA Y HUELLA 7	
				FIRMA Y HUELLA	
				2 INICIO FIRMA Y HUELLA 7	
				FIRMA Y HUELLA	
				2 INICIO FIRMA Y HUELLA 7	
				FIRMA Y HUELLA	
				2 INICIO FIRMA Y HUELLA 7	
				FIRMA Y HUELLA	
				2 INICIO FIRMA Y HUELLA 7	
				FIRMA Y HUELLA	
				2 INICIO FIRMA Y HUELLA 7	
				FIRMA Y HUELLA	
				2 INICIO FIRMA Y HUELLA 7	
				FIRMA Y HUELLA	
				2 INICIO FIRMA Y HUELLA 7	
				FIRMA Y HUELLA	
				2 INICIO FIRMA Y HUELLA 7	
				FIRMA Y HUELLA	
				2 INICIO FIRMA Y HUELLA 7	
				FIRMA Y HUELLA	
				2 INICIO FIRMA Y HUELLA 7	
				FIRMA Y HUELLA	
				2 INICIO FIRMA Y HUELLA 7	
				FIRMA Y HUELLA	
				2 INICIO FIRMA Y HUELLA 7	
				FIRMA Y HUELLA	
				2 INICIO FIRMA Y HUELLA 7	
				FIRMA Y HUELLA	
				2 INICIO FIRMA Y HUELLA 7	
				FIRMA Y HUELLA	
				2 INICIO FIRMA Y HUELLA 7	
				FIRMA Y HUELLA	
				2 INICIO FIRMA Y HUELLA 7	
				FIRMA Y HUELLA	
				2 INICIO FIRMA Y HUELLA 7	
				FIRMA Y HUELLA	
				2 INICIO FIRMA Y HUELLA 7	
				FIRMA Y HUELLA	
				2 INICIO FIRMA Y HUELLA 7	
				FIRMA Y HUELLA	
				2 INICIO FIRMA Y HUELLA 7	
				FIRMA Y HUELLA	
				2 INICIO FIRMA Y HUELLA 7	
				FIRMA Y HUELLA	
				2 INICIO FIRMA Y HUELLA 7	
				FIRMA Y HUELLA</b	

Using Canny edge detection and other simple computer vision techniques we can start to get some detection of the areas of interest.

Into this image we are only interested in detecting this region of the image.

PRESIDENTE/A		DIPUTADO/A CIR. UNINOMINAL	
C.C.	30	C.C.	33
FPV		FPV	
MTS		MTS	5
UCS		UCS	4
MAS - IPSP	142	MAS - IPSP	94
21F	2	21F	8
PDC	18	PDC	20
MNR	1	MNR	
PAN-BOL	2	PAN-BOL	
<hr/>		<hr/>	
VOTOS VÁLIDOS	201	VOTOS VÁLIDOS	164
LOS VOTOS VÁLIDOS SON LA SUMA DE LOS VOTOS OBTENIDOS POR LAS CANDIDATURAS			
VOTOS BLANCOS	2	VOTOS BLANCOS	39
VOTOS NULOS	4	VOTOS NULOS	4
OBSERVACIONES			5

Other parts of the image also can be used for another kind of applications, like "fingerprint" matching across the whole dataset or read and detect duplicate names in the region of people in charge of the election table.

This time we are only interested in counting the votes in this selected Region of Interest.

Creation of VOC Like dataset

For create this dataset we create all the steps for this into the file

[VOC_CREATION/bounding_boxes_creation.py](#).

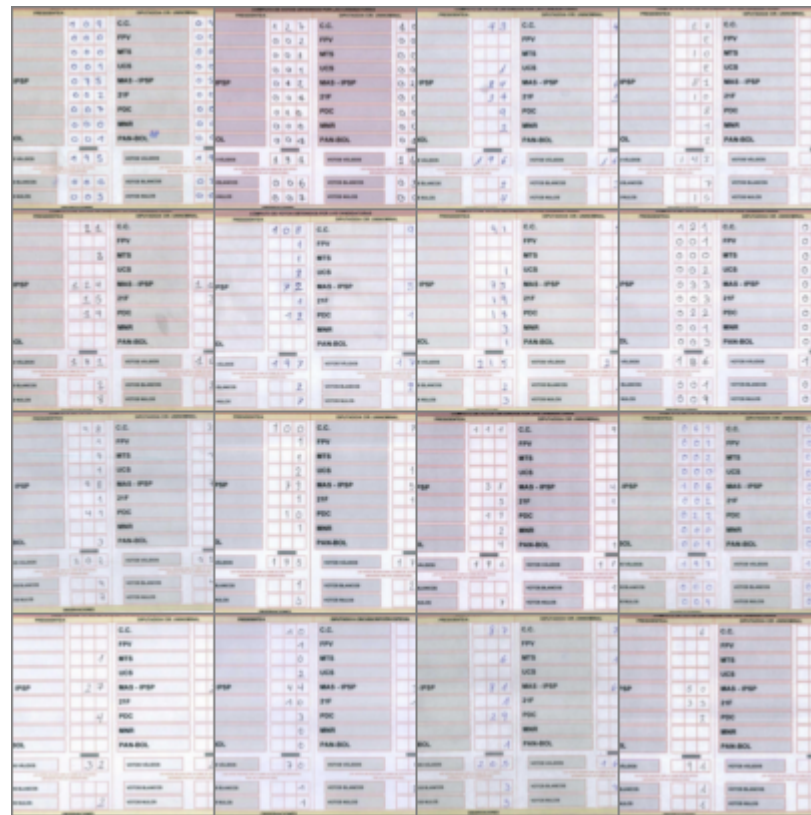
With a simple.

```
cd VOC_CREATION
python bounding_boxes_creation.py --data_path=$UPLOADED_IMAGES_COMPUTO
```

Will start to create the dataset, into a default folder called [results/](#).

We made use of an env variable [\\$UPLOADED_IMAGES_COMPUTO](#) for set the directory of the target images.

The result is a set of cropped images in `VOC_CREATION/results/Train/images` and their XML labels `VOC_CREATION/results/Train/labels`. ~21000 in total.



A sample with bounding boxes drawing this this.

COMPUTO DE VOTOS OBTENIDOS POR LAS CANDIDATURAS		DIPUTADO/A CIR. UNINOMINAL	
PRESIDENTE/A		DIPUTADO/A CIR. UNINOMINAL	
C.C. CC Presidente	13	C.C. CC Diputado	115
FPV FPV Presidente		FPV FPV Diputado	
MTS MTS Presidente		MTS MTS Diputado	
UCS UCS Presidente	1	UCS UCS Diputado	3
MAS - IPSP MAS IPSP Presidente	84	MAS - IPSP MAS IPSP Diputado	61
21F 21F Presidente	27	21F 21F Diputado	52
PDC PDC Presidente	9	PDC PDC Diputado	
MNR MNR Presidente	2	MNR MNR Diputado	7
PAN-BOL PAN-BOL Presidente		PAN-BOL PAN-BOL Diputado	
VOTOS VÁLIDOS Votos Validos Presidente	196	VOTOS VÁLIDOS Votos Validos Diputado	168
LOS VOTOS VÁLIDOS SON LA SUMA DE LOS VOTOS OBTENIDOS POR LAS CANDIDATURAS			
VOTOS BLANCOS Votos Blancos Presidente	9	VOTOS BLANCOS Votos Blancos Diputado	33
VOTOS NULOS Votos Nulos Presidente	4	VOTOS NULOS Votos Nulos Diputado	1

The total success of detected boxes with the simple computer vision algorithm is aprox. $\sim(21000/31000) * 100 \sim= 68\%$. We made a try to fine tune a object detection model for increase this number and read more electoral papers.

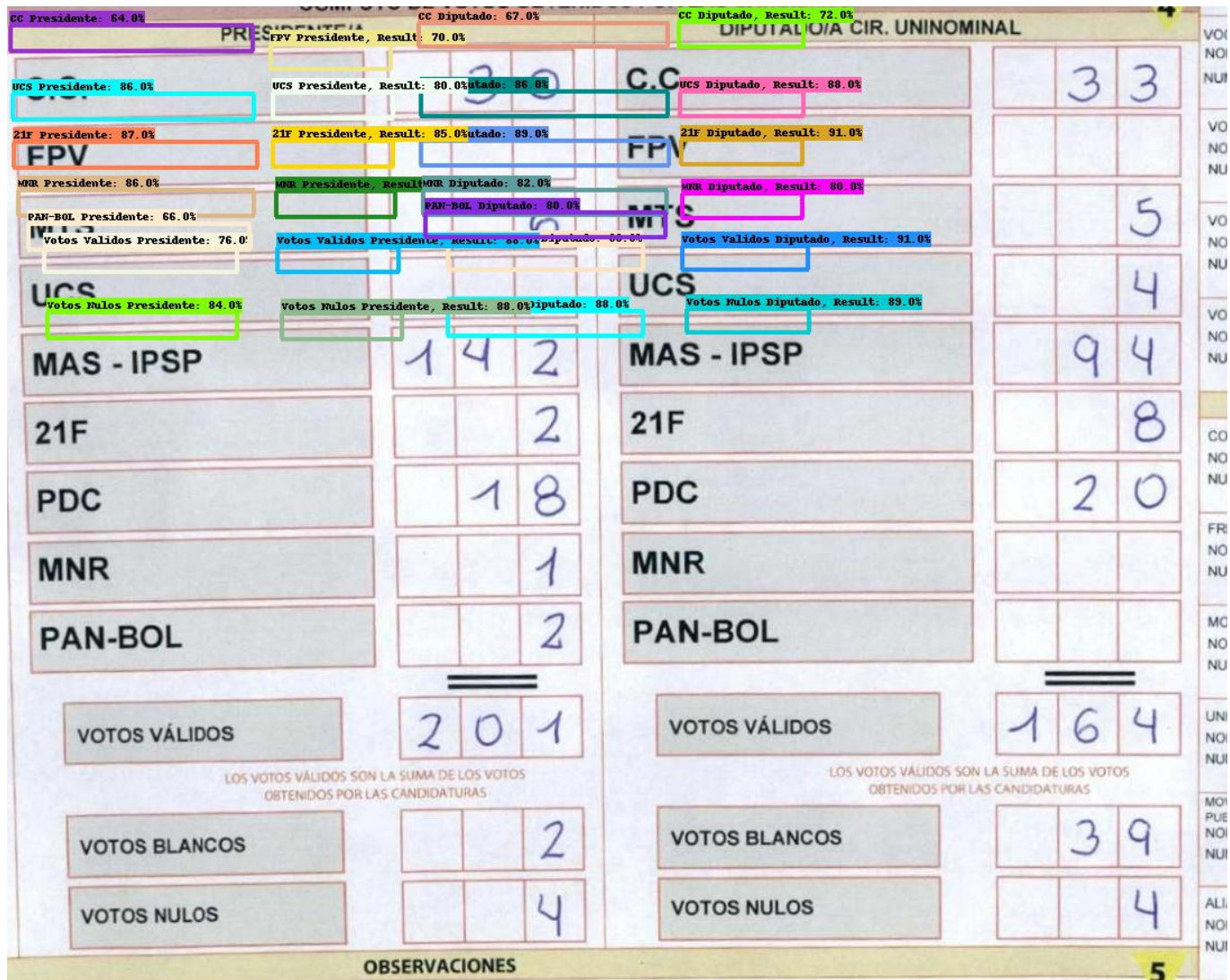
Attempt to finetune SSD MobilenetV2 with this VOC dataset.

Create TF-RECORDS FILE

We convert to tf-records format our VOC dataset using the script in [VOC_CREATION/create_tf_records.py](#)

Retrain the model

For fast iteration around this problem we use the MONK https://github.com/Tessellate-Imaging/Monk_Object_Detection library for retrain object detection models. The fork of his notebook called [Train Without Validation Dataset.ipynb](#) is in our folder called [OBJECT_DETECTION/Train_Without_Validation_Dataset.ipynb](#). We had a problem with our credit card and we are unable to open an azure account and train the model inside azure compute instances. For this reason we made use of google colab, we use a lot of GPU VRAM for finetune the mobilenetv2 model. The result of this finetuning is .



We think that the MONK library is not resizing correctly our image in this high level interface

We have not enough time for test the native tensorflow object detection library or another models, by this reason we leave this approach for get to work the remaining 32% of the images.

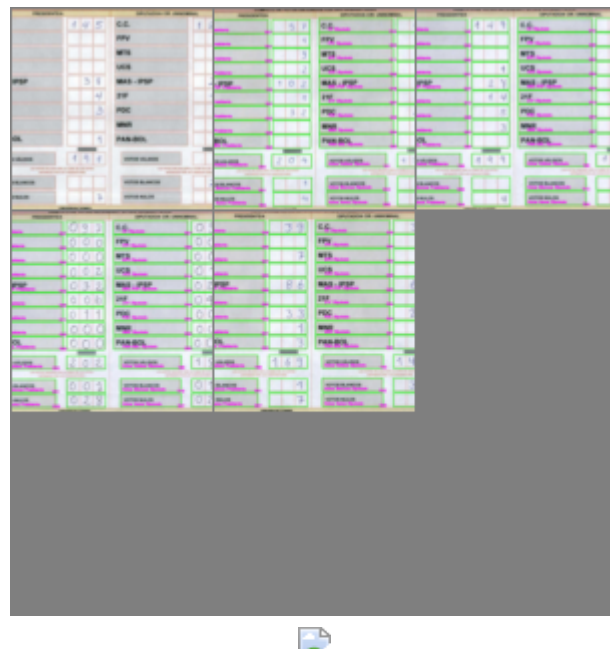
Count of votes.

Since we labeled our Regions of Interest, we can start to count the numbers inside the boxes with another bit of work of computer vision.

We only take a sample of 5 images for proof the concept.

We create the instance `VotesCounter(ImageHandler)` inside of the `VOTES_COUNTER/votes_counter.py` script, this instance expects some MNIST model for read the digits. We deploy a custom MNIST in our local server, we also can use any other model for read digits inside this images.

We explore the possibility to create other datasets by the side only of the digits inside this images. We will explore this alternative later. For now we obtain the following results with this simple MNIST.



And the log for the count into the [VOTES_COUNTER/results/results_log.txt](#)

```
image,count_value, user_id
00c354f2-f7ce-11e9-95e8-c8ff28027534.jpg,004,1
00c354f2-f7ce-11e9-95e8-c8ff28027534.jpg,005,2
00c354f2-f7ce-11e9-95e8-c8ff28027534.jpg,001,3
00c354f2-f7ce-11e9-95e8-c8ff28027534.jpg,023,4
00c354f2-f7ce-11e9-95e8-c8ff28027534.jpg,204,5
00c354f2-f7ce-11e9-95e8-c8ff28027534.jpg,181,6
00c354f2-f7ce-11e9-95e8-c8ff28027534.jpg,000,7
00c354f2-f7ce-11e9-95e8-c8ff28027534.jpg,000,8
00c354f2-f7ce-11e9-95e8-c8ff28027534.jpg,000,9
00c354f2-f7ce-11e9-95e8-c8ff28027534.jpg,004,10
00c354f2-f7ce-11e9-95e8-c8ff28027534.jpg,032,11
00c354f2-f7ce-11e9-95e8-c8ff28027534.jpg,026,12
00c354f2-f7ce-11e9-95e8-c8ff28027534.jpg,001,13
00c354f2-f7ce-11e9-95e8-c8ff28027534.jpg,007,14
00c354f2-f7ce-11e9-95e8-c8ff28027534.jpg,102,15
00c354f2-f7ce-11e9-95e8-c8ff28027534.jpg,078,16
00c354f2-f7ce-11e9-95e8-c8ff28027534.jpg,002,17
00c354f2-f7ce-11e9-95e8-c8ff28027534.jpg,008,18
00c354f2-f7ce-11e9-95e8-c8ff28027534.jpg,009,19
00c354f2-f7ce-11e9-95e8-c8ff28027534.jpg,011,20
00c354f2-f7ce-11e9-95e8-c8ff28027534.jpg,001,21
00c354f2-f7ce-11e9-95e8-c8ff28027534.jpg,003,22
00c354f2-f7ce-11e9-95e8-c8ff28027534.jpg,057,23
00c354f2-f7ce-11e9-95e8-c8ff28027534.jpg,044,24
00151e8d-f7dd-11e9-b71f-c8ff28027534.jpg,004,1
00151e8d-f7dd-11e9-b71f-c8ff28027534.jpg,004,2
00151e8d-f7dd-11e9-b71f-c8ff28027534.jpg,000,3
00151e8d-f7dd-11e9-b71f-c8ff28027534.jpg,013,4
00151e8d-f7dd-11e9-b71f-c8ff28027534.jpg,199,5
00151e8d-f7dd-11e9-b71f-c8ff28027534.jpg,186,6
00151e8d-f7dd-11e9-b71f-c8ff28027534.jpg,000,7
```

00151e8d-f7dd-11e9-b71f-c8ff28027534.jpg,000,8
00151e8d-f7dd-11e9-b71f-c8ff28027534.jpg,003,9
00151e8d-f7dd-11e9-b71f-c8ff28027534.jpg,007,10
00151e8d-f7dd-11e9-b71f-c8ff28027534.jpg,005,11
00151e8d-f7dd-11e9-b71f-c8ff28027534.jpg,004,12
00151e8d-f7dd-11e9-b71f-c8ff28027534.jpg,014,13
00151e8d-f7dd-11e9-b71f-c8ff28027534.jpg,073,14
00151e8d-f7dd-11e9-b71f-c8ff28027534.jpg,027,15
00151e8d-f7dd-11e9-b71f-c8ff28027534.jpg,024,16
00151e8d-f7dd-11e9-b71f-c8ff28027534.jpg,001,17
00151e8d-f7dd-11e9-b71f-c8ff28027534.jpg,004,18
00151e8d-f7dd-11e9-b71f-c8ff28027534.jpg,000,19
00151e8d-f7dd-11e9-b71f-c8ff28027534.jpg,002,20
00151e8d-f7dd-11e9-b71f-c8ff28027534.jpg,000,21
00151e8d-f7dd-11e9-b71f-c8ff28027534.jpg,000,22
00151e8d-f7dd-11e9-b71f-c8ff28027534.jpg,149,23
00151e8d-f7dd-11e9-b71f-c8ff28027534.jpg,072,24
011e2371-f7e3-11e9-8f53-c8ff28027534.jpg,028,1
011e2371-f7e3-11e9-8f53-c8ff28027534.jpg,027,2
011e2371-f7e3-11e9-8f53-c8ff28027534.jpg,001,3
011e2371-f7e3-11e9-8f53-c8ff28027534.jpg,019,4
011e2371-f7e3-11e9-8f53-c8ff28027534.jpg,202,5
011e2371-f7e3-11e9-8f53-c8ff28027534.jpg,185,6
011e2371-f7e3-11e9-8f53-c8ff28027534.jpg,000,7
011e2371-f7e3-11e9-8f53-c8ff28027534.jpg,000,8
011e2371-f7e3-11e9-8f53-c8ff28027534.jpg,000,9
011e2371-f7e3-11e9-8f53-c8ff28027534.jpg,000,10
011e2371-f7e3-11e9-8f53-c8ff28027534.jpg,011,11
011e2371-f7e3-11e9-8f53-c8ff28027534.jpg,004,12
011e2371-f7e3-11e9-8f53-c8ff28027534.jpg,006,13
011e2371-f7e3-11e9-8f53-c8ff28027534.jpg,044,14
011e2371-f7e3-11e9-8f53-c8ff28027534.jpg,032,15
011e2371-f7e3-11e9-8f53-c8ff28027534.jpg,025,16
011e2371-f7e3-11e9-8f53-c8ff28027534.jpg,002,17
011e2371-f7e3-11e9-8f53-c8ff28027534.jpg,014,18
011e2371-f7e3-11e9-8f53-c8ff28027534.jpg,000,19
011e2371-f7e3-11e9-8f53-c8ff28027534.jpg,001,20
011e2371-f7e3-11e9-8f53-c8ff28027534.jpg,000,21
011e2371-f7e3-11e9-8f53-c8ff28027534.jpg,000,22
011e2371-f7e3-11e9-8f53-c8ff28027534.jpg,097,23
011e2371-f7e3-11e9-8f53-c8ff28027534.jpg,097,24
012c5403-f7ce-11e9-b2ea-c8ff28027534.jpg,007,1
012c5403-f7ce-11e9-b2ea-c8ff28027534.jpg,005,2
012c5403-f7ce-11e9-b2ea-c8ff28027534.jpg,001,3
012c5403-f7ce-11e9-b2ea-c8ff28027534.jpg,032,4
012c5403-f7ce-11e9-b2ea-c8ff28027534.jpg,169,5
012c5403-f7ce-11e9-b2ea-c8ff28027534.jpg,140,6
012c5403-f7ce-11e9-b2ea-c8ff28027534.jpg,003,7
012c5403-f7ce-11e9-b2ea-c8ff28027534.jpg,000,8
012c5403-f7ce-11e9-b2ea-c8ff28027534.jpg,001,9
012c5403-f7ce-11e9-b2ea-c8ff28027534.jpg,001,10
012c5403-f7ce-11e9-b2ea-c8ff28027534.jpg,033,11
012c5403-f7ce-11e9-b2ea-c8ff28027534.jpg,024,12
012c5403-f7ce-11e9-b2ea-c8ff28027534.jpg,000,13

```
012c5403-f7ce-11e9-b2ea-c8ff28027534.jpg,004,14  
012c5403-f7ce-11e9-b2ea-c8ff28027534.jpg,086,15  
012c5403-f7ce-11e9-b2ea-c8ff28027534.jpg,065,16  
012c5403-f7ce-11e9-b2ea-c8ff28027534.jpg,000,17  
012c5403-f7ce-11e9-b2ea-c8ff28027534.jpg,009,18  
012c5403-f7ce-11e9-b2ea-c8ff28027534.jpg,007,19  
012c5403-f7ce-11e9-b2ea-c8ff28027534.jpg,003,20  
012c5403-f7ce-11e9-b2ea-c8ff28027534.jpg,000,21  
012c5403-f7ce-11e9-b2ea-c8ff28027534.jpg,004,22  
012c5403-f7ce-11e9-b2ea-c8ff28027534.jpg,039,23  
012c5403-f7ce-11e9-b2ea-c8ff28027534.jpg,030,24
```

which later can be processed with pandas for further analysis.

Conclusions

With this work we wanted to demonstrate the proof of concept that it is possible to automatically read the digits written by hand within physical electoral records. The procedure ranges from using simple computer vision techniques to exploring the possibility of creating an object detector using deep learning. The latter needs more work and it is hoped that this can be achieved. We also leave open the possibility of using this dataset for other types of work that can be done on top of the images that are available.